

РОССИЙСКАЯ АКАДЕМИЯ НАУК

СИБИРСКОЕ ОТДЕЛЕНИЕ

А В Т О М Е Т Р И Я

---

№ 2

2002

---

УДК 517.958 + 510.51

С. М. Зеркаль

(Новосибирск)

**РЕГУЛЯРИЗУЮЩИЙ АЛГОРИТМ ОБРАБОТКИ ДАННЫХ  
АКУСТИЧЕСКОЙ ПАССИВНОЙ ЛОКАЦИИ  
В СЛОЖНЫХ ПОМЕХОСИГНАЛЬНЫХ СИТУАЦИЯХ\***

Рассматривается вычислительная задача, возникающая в условиях диагностики (пассивной локации) источников акустического сигнала в помехосигнальных ситуациях, не допускающих разрешения источников традиционными методиками. В работе развит итерационный алгоритм, позволяющий с применением методов регуляризации получить решение исследуемой задачи при наличии случайных помех в каналах приема и «малых» угловых расстояний между источниками. Существенным является использование криволинейной системы наблюдений (антенны). Приводятся описание алгоритма и результаты вычислительного компьютерного моделирования, решения исследуемой задачи.

**Введение.** В статье исследуется задача пассивной локации источников акустического сигнала, расположенных в дальней зоне (на значительном удалении от антеннной решетки), определяются мощность и угловые координаты диагностируемых источников. Одной из возможных областей применения излагаемых далее результатов является геотомография, где разработанная вычислительная методика может быть использована при диагностике эпицентров близких (территориально и по времени события) землетрясений или взрывов. Естественно, в этом случае исходной информацией служит регистрируемый сейсмический сигнал (поверхностная волна Рэлея). Данная задача представляет практический интерес в сложных помехосигнальных ситуациях, характеризующихся случайными помехами в каналах приема и неустойчивостью разрешения источников, обусловленной их взаимно близким расположением вместе со значительной разницей в мощностях (амплитудах). В качестве устройства, принимающего исследуемый акустический сигнал, используется цилиндрическая фазированная антенная решетка [1], что в отличие от случая прямолинейных эквидистантных антенн увеличивает нелинейность задачи. Таким образом, требуется разделить сливающиеся источники и определить параметры слабого по мощности на фоне сильного.

Устойчивость задачи в таких условиях можно повысить за счет:

- учета априорной информации о специфике шумов и искажений, а также об искомом решении (предварительное целеуказание);

\* Работа выполнена при поддержке Российского фонда фундаментальных исследований (грант № 00-07-90342).

– увеличения числа наблюдений (приемников).

Существенным для успешного использования разработанного алгоритма является наличие априорной информации о количестве разрешаемых источников, носящей характер предварительного целеуказания [2]. Априорная информация может быть получена в ситуации, когда при перемещении разрешаемые источники находятся достаточно далеко друг от друга и могут предварительно диагностироваться, а при сближении источников (угловое сближение) требуется их повторное диагностирование. Кроме того, такая априорная информация получается в случае, когда источники начинают работать не одновременно, однако разрешить их нужно после включения последнего. Предлагаемый алгоритм основан на использовании принципа итеративной регуляризации [3, 4], позволяющего уверенно решать подобные вычислительные задачи, сводящиеся к решению нелинейных систем трансцендентных уравнений специального вида. В простейшем случае прямолинейной эквидистантной системы наблюдений эти задачи редуцируются к обратным задачам для разностных уравнений и эффективно решаются методом Прони [5, 6], не требуя при этом априорной информации о количестве разрешаемых источников. Рассмотренная в работе задача относится к асимптотической постановке обратной задачи определения правой части специального вида для волнового уравнения. Правая часть имеет вид линейной комбинации расположенных в дальней зоне точечных источников. Исходной информацией являются функционалы волнового поля, излучаемого диагностируемыми источниками, которые измерены на приемниках, расположенных на дуге окружности.

1. **Постановка задачи.** В пространстве  $R^3$ , заполненном средой со скоростью распространения волн  $c$ , происходит волновой процесс, описываемый уравнением

$$U_{tt} - c^2 \Delta U = \sum_{j=1}^m a_j \delta(x - x_j) e^{ikx} \quad (1)$$

с начальными данными

$$U(x, 0) = 0, \quad U_t(x, 0) = 0, \quad (2)$$

где  $m$  – количество источников;  $x_j$  – местоположение  $j$ -го источника;  $a_j$  – амплитуда  $j$ -го источника, работающего с частотой  $k$ . Считаем, что поле изменяется после его установления и  $c \equiv 1$ , тогда решение прямой задачи (1), (2) записывается в явном виде (константа  $c$  в дальнейшем изложении опускается):

$$U(x, t) = \frac{1}{4\pi} \sum_{j=1}^m a_j \exp(ik(t - |x - x_j|)) \theta(t - |x - x_j|)/|x - x_j|, \quad (3)$$

где  $\theta(t)$  – функция Хевисайда, т. е.

$$\theta(t) = \begin{cases} 1, & \text{если } t > 0; \\ 0, & \text{если } t \leq 0. \end{cases}$$

Приемники располагаются на антenne – дуге  $(-\beta, \beta)$  окружности радиуса  $R$ . Количество приемников  $n$ , угол на  $l$ -й приемник определяется по формуле

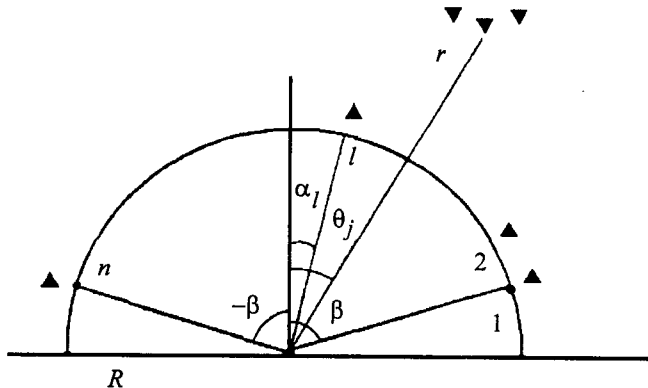


Рис. 1. Система наблюдений для круговой антенны и удаленных источников:  $r$ —расстояние от центра антенны до ближайшего источника,  $a$  — источник (▼),  $b$  — приемник (▲) (элемент антенны)

$\alpha_l = \beta - (l-1)\gamma$ ,  $l=1,2,\dots,n$ ,  $\gamma = 2\beta/(n-1)$ . Все источники располагаются в дальней зоне,  $\theta_j$  — угол на  $j$ -й источник,  $j=1,2,\dots,m$  (рис. 1).

По полю  $U$ , измеренному на антенне, требуется определить угловые координаты и мощности (амплитуды) источников, причем их число  $m$  считается известным. Отметим, что трехмерный случай легко сводится к последовательному решению двух плоских задач. Рассмотрим ситуацию, когда источники, находясь на большом удалении от антенны и имея значительную разницу в амплитудах, могут располагаться настолько близко друг к другу, что решение становится неустойчивым, источники не разделяются и для решения задачи требуется применение методов регуляризации. Эта постановка относится к одной из важных проблем в теории дискретных обратных задач разрешения сигналов.

**2. Построение решения и вычислительный алгоритм решения обратной задачи.** Предположение асимптотического характера о расположении диагностируемых источников в дальней зоне позволяет исследовать задачу при  $r \rightarrow \infty$  ( $r = \min r_j$  (см. рис. 1)) и свести ее к решению трансцендентных уравнений специального вида.

Пусть  $x_j = r_j \omega_j$ ,  $r_j \gg 1$ ,  $|\omega_j| = 1$ ,  $\omega_j \in R^3$ , где  $r_j$  и  $\omega_j$  — полярные (сферические) координаты  $x_j$ , причем  $r_j = r + \rho_j$ ,  $r \gg 1$ ;  $\rho_j$  — расстояние от  $j$ -го источника до ближайшего к центру координат. Обозначим  $|x - x_j| = d$  и заметим, что  $|x_j| = r_j$ , тогда имеем

$$d - r_j = \frac{d^2 - r_j^2}{d + r_j} = \frac{|x|^2 - 2r_j \langle x, \omega_j \rangle + |x_j|^2 - r_j^2}{2r_j(0,5 + d/(2r_j))},$$

$$\frac{1}{2} \frac{d}{r_j} = \frac{1}{2} \sqrt{\frac{d^2}{r_j^2}} = \frac{1}{2} \sqrt{\frac{|x|^2 - 2r_j \langle x, \omega_j \rangle + |x_j|^2}{r_j^2}} =$$

$$= \frac{1}{2} \sqrt{1 + \frac{|x|^2 - 2r_j \langle x, \omega_j \rangle}{r_j^2}} = \frac{1}{2} \sqrt{1 + O\left(\frac{1}{r_j}\right)} = \frac{1}{2} + O\left(\frac{1}{r_j}\right),$$

$$d - r_j = \frac{|x|^2 - 2r_j \langle x, \omega_j \rangle}{2r_j (0,5 + 0,5)} = \frac{|x|^2 - 2r_j \langle x, \omega_j \rangle}{2r_j} = -\langle x, \omega_j \rangle + O\left(\frac{1}{r_j}\right)$$

или

$$|x - x_j| = r_j - \langle x, \omega_j \rangle + O\left(\frac{1}{r_j}\right).$$

Поскольку  $r_j = r + \rho_j$ , то

$$|x - x_j| = r + \rho_j - \langle x, \omega_j \rangle + O\left(\frac{1}{r_j}\right). \quad (4)$$

Рассмотрим случай, когда поле измеряется после установления, т. е.  $t > |x_l^0 - x_j|$ ,  $\forall x_l^0 \in D$ ,  $\forall x_j$  ( $D$  – антenna), тогда  $\theta(t - |x_l^0 - x_j|) \equiv 1$ , что с использованием (3) приводит к системе уравнений

$$U(x_l^0, t) = \frac{1}{4\pi} \sum_{j=1}^m a_j \exp(ik(t - |x_l^0 - x_j|)) / |x_l^0 - x_j|.$$

Подставляя в это выражение соотношение (4) ( $x_l^0 \equiv x$ ) и полагая

$$V(x) = \lim_{r \rightarrow \infty} 4\pi r \exp(ik(r - t)) U(x, t),$$

получим основную систему уравнений

$$\sum_{j=1}^m a_j e^{-ik\rho_j} e^{ik\langle x, \omega_j \rangle} = V(x).$$

На практике при обработке результатов измерений применяются специальные методики, разработанные в теории сигналов и учитывающие особенности экспериментальных данных, в том числе и то, что  $a_j$  носят случайный характер, так что приходится иметь дело не с самим решением задачи (1), (2), а с некоторыми функционалами от него. В данном случае для решения обратной задачи формируется следующая система уравнений (спектрально-ковариационная матрица):

$$\Phi_{lp} = M(V_l \bar{V}_p) \equiv F_{lp}, \quad l = 1, 2, \dots, n; \quad p = 1, 2, \dots, n,$$

где  $M(\cdot)$  – математическое ожидание случайной величины;  $V_l = V(x_l)$ ;  $\bar{V}_p$  – величина, комплексно-сопряженная  $V_p$ ;

$$\Phi_{lp} \equiv \sum_{j=1}^m A_j \exp\left\{i \frac{4\pi R}{\lambda} \sin\left(\frac{\alpha_p - \alpha_l}{2}\right) \sin\left(\frac{\alpha_p + \alpha_l}{2} + \theta_j\right)\right\}. \quad (5)$$

Здесь  $A_j$  характеризует среднюю амплитуду сигнала от  $j$ -го источника,  $\lambda$  – длина волны. Поскольку  $F_{lp} = \bar{F}_{pl}$ , то достаточно ограничиться случаем  $p < l$ . Рассмотрим переопределенную систему (5) (т. е.  $n \geq m + 1$ ) и применим для ее решения метод наименьших квадратов. Построим функционал

$$f(x) = f(A, \theta) = \sum_{l=1}^n \sum_{p=1}^l |\Phi_{lp}(A, \theta) - F_{lp}|^2 \quad (6)$$

и минимизируем его в пространстве искомых параметров

$$x = \begin{pmatrix} A \\ \theta \end{pmatrix} \in R^{2m},$$

где  $A$  – вектор-столбец искомых амплитуд,  $\theta$  – вектор-столбец искомых углов. Далее построим  $f'(x) \equiv F(x)$  и матрицу Якоби  $f''(x) \equiv F'(x)$ , где  $F(x)$  – вектор-столбец с элементами  $\partial f / \partial x_i$ ,  $i = 1, 2, \dots, 2m$ , а

$$F'(x) = \begin{pmatrix} A & C \\ C^* & D \end{pmatrix},$$

здесь  $A, C^*, C, D$  – матрицы с элементами  $\frac{\partial^2 f}{\partial A_k \partial A_q}$ ,  $\frac{\partial^2 f}{\partial \theta_k \partial A_q}$ ,  $\frac{\partial^2 f}{\partial A_k \partial \theta_q}$ ,  $\frac{\partial^2 f}{\partial \theta_k \partial \theta_q}$

( $k, q = 1, 2, \dots, m$ ) соответственно. Оценим норму

$$|F'(x)| \leq 2m \max \{|A_{kj}|, |C_{kj}|, |D_{kj}|\}.$$

Если предположить, что амплитуды не превосходят  $M = \text{const}$  и погрешность измерений тоже не превосходит  $M$ , то оценка выглядит следующим образом:

$$|F'(x)| \leq 12m(2m+1)M^2(4\pi R/\lambda)^2 \equiv L. \quad (7)$$

Эта оценка будет использована далее.

Рассматриваемая задача относится к нелинейным задачам, для численного решения которых общим является итерационный подход [7]. Для решения задачи минимизации функционала (6) применялись итерационные методы нулевого порядка, а именно: метод проекции градиента и методы первого порядка, основанные на регуляризации метода Гаусса – Ньютона [8, 9]. Применение итеративной регуляризации в методах первого порядка оказалось нерезультативным, в то время как комбинирование итеративной и дескриптивной (учет априорной информации) регуляризаций в методе проекции градиента оказалось наиболее эффективным. Итерационный процесс организуется следующим образом:

$$x^{i+1} = P_Q \left( x^i - \frac{1}{2L} f(x^i) \right).$$

Здесь  $i$  – номер итерации;  $P_Q$  – метрический проектор на априори задаваемую область искомых параметров  $Q$ , которая определяется допустимыми значениями неизвестных;  $L$  – постоянная Липшица для  $F(x) = f'(x)$  и оце-

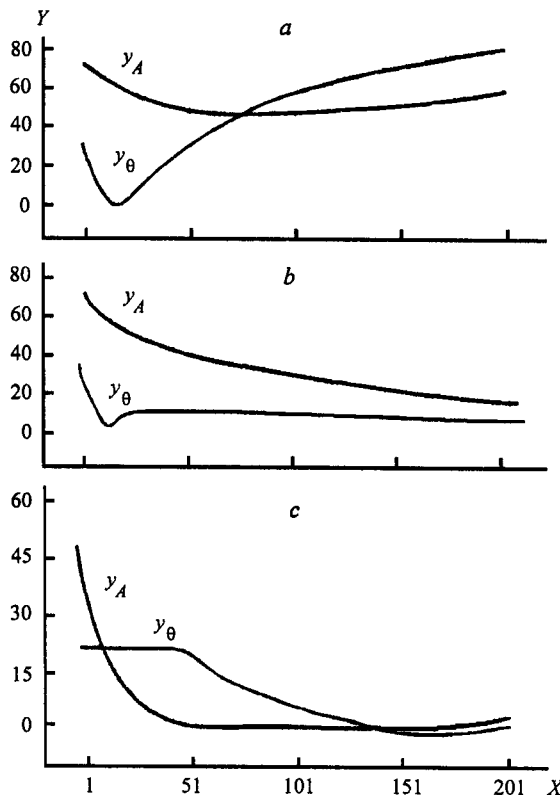


Рис. 2. Результаты численных экспериментов: *a* – без проектирования, *b* – включенное проектирование,  $R = 5\lambda$ ,  $m = 3$ ,  $n = 6$  (исходные данные:  $\theta_1 = -\theta_3 = 1,5^\circ$ ,  $\theta_2 = 0^\circ$ ,  $A_1 = A_3 = 1$ ,  $A_2 = 10$ ; начальные приближения:  $\theta_1^0 = -\theta_3^0 = -2^\circ$ ,  $\theta_2^0 = 0,2^\circ$ ,  $A_1^0 = A_2^0 = A_3^0 = 4$ ), *c* – включенное проектирование,  $R = 3\lambda$ ,  $m = 3$ ,  $n = 6$  (исходные данные:  $\theta_1 = -\theta_3 = 1,5^\circ$ ,  $\theta_2 = 0^\circ$ ,  $A_1 = A_2 = A_3 = 1$ ; начальные приближения:  $\theta_1^0 = -\theta_3^0 = -1,8^\circ$ ,  $\theta_2 = 0,573^\circ$ ,  $A_1^0 = A_2^0 = A_3^0 = 1,5$ )

нивается по формуле (7). Отметим, что  $L$  принимает относительно большие значения  $\sim 10^8$  ( $R = 5\lambda$ ,  $M = 10$ ,  $m = 3$ ). Это приводит к неоправданно малому шагу вычислений, что значительно увеличивает число итераций, необходимых для достижения нужной точности. Введение различных  $L_A$  и  $L_\theta$  при восстановлении амплитуд и углов на порядок ускорило сходимость итерационного процесса.  $L_A$  и  $L_\theta$  определяются исходя из вида матрицы  $F'(x)$ , имеющей блочную структуру. В нашем случае элементы клеток  $C$  и  $C'$  малы по сравнению с элементами клеток  $A$  и  $D$ , и чем ближе  $x^i$  к точному решению, тем значительнее эта разница.  $L_A$  выбиралась как верхняя оценка элементов клетки  $A$ ,  $L_A = 2mn(n+1)$ , а  $L_\theta$  – как верхняя оценка элементов клетки  $D$ ,  $L_\theta = (4\pi RM/\lambda)^2 n(n+1)/m$ .

**3. Результаты вычислений.** Результаты вычислений представлены графиками на рис. 2 и 3. По оси  $Y$  откладываются значения  $y_A$  и  $y_\theta$ , определяемые формулами

$$y_A = \frac{100 \|A - A^i\|}{\|A\|}, \quad y_\theta = \frac{100 \|\theta - \theta^i\|}{\|\theta\|},$$

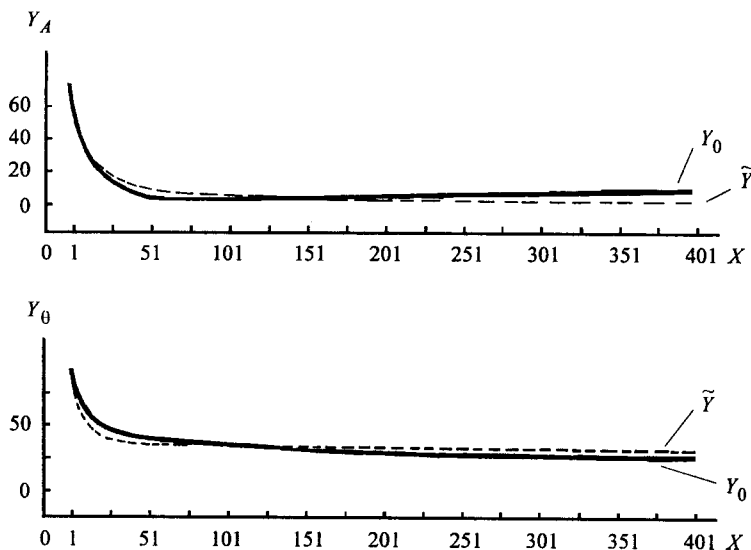


Рис. 3. Численное исследование помехоустойчивости алгоритма к случайному аддитивному искажению элементов спектрально-ковариационной матрицы.  $R = 5\lambda$ ,  $m = 3$ ,  $n = 6$ ; исходные данные:  $\theta_1 = -\theta_3 = 1,5^\circ$ ,  $\theta_2 = 0^\circ$ ,  $A_1 = A_3 = 1$ ,  $A_2 = 10$ ; начальные приближения:  $\theta_1^0 = -\theta_3^0 = 3^\circ$ ,  $\theta_2^0 = 0,1^\circ$ ,  $A_1^0 = A_2^0 = A_3^0 = 4$ ,  $\chi = 40\%$ ;  $Y_0$  соответствует случаю неискаженных элементов спектрально-ковариационной матрицы;  $\tilde{Y}$  получено при случайному искажении элементов спектрально-ковариационной матрицы в соответствии с (6)

а по оси  $X$  – номер итерации. В нашем случае  $Q$  – выпуклое множество, задаваемое системой неравенств:

$$0 \leq A_j \leq M, \quad j = \overline{1, m},$$

$$\theta_1 \geq -\gamma_1,$$

$$\theta_2 \geq \theta_1 + \varepsilon_1,$$

$$\theta_3 \geq \theta_2 + \varepsilon_1,$$

.....

$$\theta_j \geq \theta_{j-1} + \varepsilon_1,$$

.....

$$\gamma_1 \geq \theta_m.$$

Здесь  $[-\gamma_1, \gamma_1]$  – задаваемый раствор углов, в котором содержатся искомые углы  $\theta_j$ , а  $\varepsilon_1 > 0$  – минимальный угол, ближе которого они не могут находиться. Таким образом, искомые углы занумерованы в порядке возрастания:  $-\gamma_1 \leq \theta_1 < \dots < \theta_m \leq \gamma_1$ . При задании проектора  $P_Q$  минимальный угол между соседними источниками задавался равным  $0,5^\circ$ , граница для амплитуд  $M = \sum_i^m A_i$  выбиралась равной первой компоненте вектора измерений.

Рис. 2, а отражает ситуацию, когда проектирование выключено и процесс

расходится. На рис. 2, *b* показано, что применение проектора позволяет получить решение. Из рис. 2, *c* видно, что проектор не дает значениям компонент  $\theta^i$  выйти за пределы  $-1,8^\circ$  и  $1,8^\circ$ , и с 50-й итерации начинается быстрая сходимость.

В численных экспериментах разработанный алгоритм показал хорошую помехоустойчивость к случайному шуму в элементах  $\Phi_{lp}$ . На рис. 3 представлены результаты вычислений, когда значения элементов спектрально-ковариационной матрицы искажаются случайным образом пропорционально их локальному значению:

$$\tilde{\Phi}_{lp} = \Phi_{lp}(1 + z\chi/100). \quad (8)$$

Здесь  $z$  – случайная величина, равномерно распределенная в интервале  $[-1; 1]$ ;  $\chi$  – уровень шума в процентах.

Приведем результаты вычислений в виде конкретных числовых значений. Исходные данные:  $n = 6, R/\lambda = 5, \theta_1 = -\theta_3 = 0,02618, \theta_2 = 0, A_1 = A_3 = 1, A_2 = 10$ . Начальное приближение:  $\hat{\theta}_1 = -\hat{\theta}_2 = 0,03500, \hat{\theta}_3 = 0,01, \hat{A}_1 = \hat{A}_2 = \hat{A}_3 = 4$ . В частности, при  $\chi = 4\%$  на 300-й итерации получилось:  $\theta_1 = 0,02560, A_1 = 1,231; \theta_2 = 1,25 \cdot 10^{-5}, A_2 = 9,580; \theta_3 = -0,02566, A_3 = 1,246$ . Далее сходимость продолжается.

**Заключение.** С математической точки зрения рассматриваемая постановка локационной задачи относится к области некорректно поставленных задач; с точки зрения физики – к обратным задачам математической физики, так как при их решении требуется обращение причинно-следственных связей; с точки зрения теории обработки информации эти задачи сводятся к оптимальной (как правило, нелинейной) фильтрации наблюдаемого поля. Статистическая природа шума и искажений в измерительной аппаратуре, статистический характер рассеивающих неоднородностей части пространства, в которой происходит волновой процесс, наконец, статистический характер самих искомых излучателей делают математическую статистику, конечно, первым и важнейшим этапом при обработке реальных сигналов. Второй важный этап заключается в создании устойчивых алгоритмов интерпретации предварительно статистически обработанных результатов измерений. Применительно к задачам локации с дискретными антеннами мы приходим здесь к проблемам устойчивого решения плохо обусловленных нелинейных систем уравнений, составленных на основе спектрально-ковариационных матриц. Задачу усложняет и то обстоятельство, что на практике антенны часто криволинейной конфигурации (для прямолинейных эквидистантных антенн уравнения решаемой системы имеют более простой вид).

**З а м е ч а н и е.** Система уравнений, аналогичная полученной при решении данной обратной задачи в случае прямолинейной эквидистантной антенны, возникает в активационном анализе, когда по измеряемому во времени суммарному излучению активированной смеси определяют число изотопов в ней, их периоды полураспада и интенсивности излучения [10].

Разработанный алгоритм применим как в случаях криволинейной, так и прямолинейной антенны и не требует эквидистантности. Ранее при решении подобной задачи угловое расстояние между ближайшими друг к другу источниками составляло не менее  $9^\circ$  [1], применение же разработанного алгоритма, имеющего за счет использования регуляризации повышенную разреша-

ющую способность, позволило уверенно исследовать ситуации с угловыми расстояниями до  $1,5^\circ$  при отличии амплитуд (мощностей) диагностируемых источников на порядок.

#### СПИСОК ЛИТЕРАТУРЫ

1. Алексеев В. И., Гительсон В. С., Глебов Г. М. и др. Точность определения параметров источников случайных акустических сигналов методом прямого разрешения // Акуст. журн. 1981. **XXVII**, вып. 1. С. 30.
2. Зеркаль С. М. О диагностике близко расположенных источников волнового поля с применением итеративной и дескриптивной регуляризации // Докл. РАН. 1997. **357**, № 6. С. 745.
3. Бакушинский А. Б. К принципу итеративной регуляризации // ЖВМиМФ. 1979. **19**, № 4. С. 1040.
4. Бакушинский А. Б. Принцип итеративной регуляризации: Автореф. дис. ... д-ра физ.-мат. наук. М., 1983.
5. Бухгейм А. Л., Зеркаль С. М., Конев В. Т., Сабитова Г. С. Об одном классе обратных задач в дискретной постановке // Обратные задачи математической физики. Новосибирск: ВЦ СО АН СССР, 1985. С. 57.
6. Reddi S. S. Multiple source location – A digital approach // IEEE Trans. Aerospace and Electron. Syst. 1979. **15**, N 1. P. 95.
7. Дьяконов Е. Г. Нелинейное уравнение: численные методы решения // МСЭ. М., 1982. Т. 3. С. 945.
8. Ливитин Е. С., Поляк Б. Т. Методы минимизации при наличии ограничений // ЖВМиМФ. 1966. **6**, № 5. С. 787.
9. Ортега Д., Рейнболдт В. Итерационные методы решения нелинейных систем уравнений со многими неизвестными. М.: Мир, 1975.
10. Заикин П. Н., Моисеев В. Н. Устойчивый метод интерпретации данных изотопного анализа // ЖВМиМФ. 1978. **18**, № 5. С. 487.

Институт математики СО РАН,  
E-mail: [zerkal@math.nsc.ru](mailto:zerkal@math.nsc.ru)

Поступила в редакцию  
18 июля 2001 г.